

## مجله علمی پژوهشی مکانیک سازه‌ها و شاره‌ها

# بررسی تجربی ساختار حرارتی و انتقال حرارت جابجایی از مجموعه پره‌های سوراخ دار با سوراخ‌های متقطع

محمد مهدی توکل<sup>۱</sup>، حسین سعادت<sup>۱</sup> و محمود یعقوبی<sup>۲</sup>

<sup>۱</sup>دانشگاه آزاد اسلامی واحد شیراز، بخش مهندسی مکانیک، دانشکده مهندسی، شیراز، ایران

<sup>۲</sup>استاد دانشکده مکانیک، دانشگاه شیراز

تاریخ دریافت: ۱۳۹۳/۱۲/۲۶؛ تاریخ بازنگری: ۱۳۹۴/۰۲/۳۰؛ تاریخ پذیرش: ۱۳۹۴/۰۷/۱۳

### چکیده

در این مطالعه، سعی شده به کمک اندازه‌گیری تجربی، انتقال حرارت جابجایی از نوع جدیدی از آرایه پره‌های سوراخ دار ارائه شود. با توجه به نتایج این تحقیق، اطلاعات کاربردی در مورد ویژگی‌های حرارتی این نوع پره‌ها استخراج و می‌توان به طراحی پره‌ها با قابلیت انتقال حرارت بالا رسید. در این تحقیق، اثر سوراخ‌های متقطع بر اولین بار مورد بررسی قرار گرفته است. مقایسه ضریب انتقال حرارت جابجایی این نوع پره‌ها با پره‌های بدون سوراخ و پره‌های سوراخ دار با سوراخ‌های طولی، بیانگر آن است که این آرایه از پره‌ها، دارای قابلیت مناسبتری در دفع حرارت نسبت به طراحی‌های پیشین برای پره‌های سوراخ دار است. آرایش پره‌های حاضر، دارای ضریب انتقال حرارت جابجایی و کارایی بیشتر به میزان ۵۰٪ نسبت به آرایش‌های پیشین است. مقایسه دمای سطح پره‌ها با تصویرگیری مادون قرمز، بیانگر بالاتر بودن دمای سطح پره می‌اند نسبت به پره‌های جانبی است؛ همچنین می‌توان از نتایج تحقیق حاضر برای اعتبارسنجی حل عددی میدان دما در اطراف پره‌های سوراخ دار استفاده کرد.

**کلمات کلیدی:** انتقال حرارت جابجایی، اندازه‌گیری توزیع دما، ضریب انتقال حرارت، پره‌های سوراخ دار، سوراخ‌های متقطع، ترمومترگرافی

## Experimental investigation of thermal structure and convection heat transfer from an array of perforated fins with cross openings

M. M. Tavakol<sup>1</sup>, H. Saadat<sup>1</sup> and M. Yaghoubi<sup>2</sup>

<sup>1</sup>Department of Mechanical Engineering, Faculty of Engineering, Shiraz Branch, Islamic Azad University, Shiraz, Iran

<sup>2</sup>School of Mechanical Engineering, Shiraz, Iran

### Abstract

In this study attempt is made to study convection heat transfer from a new type of perforated fins with cross perforations using experimental measurement. Using the present experimental measurements, thermal performance of such perforated fins are determined. Comparison of convection heat transfer from the present array of perforated fins with the previous studies of perforated fins illustrates better heat transfer performance of the new arrangement and its higher convection heat transfer coefficient. Quantitatively, using the present fin arrangement increases the heat transfer coefficient and the fin effectiveness for about 50% with respect to the previous perforated arrangement. Comparison of the fins surface temperature measured by thermograph imager depict higher surface temperature for the middle fin. In addition, the present experimental data can be used to validate numerical simulations of perforated fins.

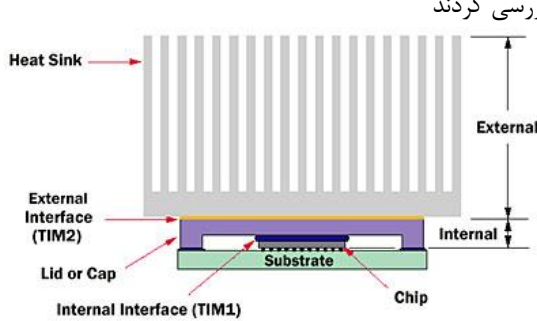
**Keywords:** Convection heat transfer; temperature measurement; convection heat transfer coefficient; perforated fins; cross perforations; thermography

## ۱- مقدمه

امروزه با توجه به پیشرفت روزافزون تکنولوژی در زمینه تجهیزات الکترونیکی، خنکسازی این وسایل نیز از اهمیت خاصی برخوردار است. سطوح گستردگی در صنعت، به منظور افزایش نرخ انتقال حرارت در بسیاری مبدل‌های حرارتی و تجهیزات استفاده می‌شود. پره‌های مورد استفاده در مبدل‌های حرارتی اشکال گوناگونی دارند که از آن جمله می‌توان به پره‌های مستطیلی، استوانه‌ای، پینی و یا ترکیبی از این اشکال اشاره کرد. بهره گیری از پره‌ها سبب کاهش تمرکز شار حرارتی می‌شود، در مقابل هزینه اضافی ساخت سطح و ماده رسانای حرارتی برای انتقال، حرارت را در پی دارد. از جمله کاربردهای پره‌ها می‌توان به پره‌های موجود جهت خنک کردن پردازشگر کامپیوتر و قطعات الکترونیکی اشاره کرد. با پیشرفت روزافزون کامپیوترا و ورود پردازشگرهای قوی حجم بالای از اطلاعات در زمان بسیار کم پردازش می‌شود. پردازش سریع، موجب به وجود آمدن گرما در پردازشگر می‌شود و چنانچه این حرارت دفع نگردد، تنش‌های حرارتی باعث از بین رفت پردازشگر و در نهایت کل سیستم می‌شود. در شرایط حاضر و با ساخت کامپیوتراهای پیشرفته تکنیک دفع گرما باید کارتر و مؤثرتر از گذشته شود؛ زیرا از نظر افزایش ضریب انتقال حرارت جابجایی محدودیت‌هایی وجود دارد. از این رو نیاز به طراحی پره‌هایی با راندمان بالاتر برای نصب روی پردازشگر و سایر تجهیزات الکتریکی کاملاً احساس می‌شود. برای کسب انتقال حرارت مناسب تر به کمک سطوح گستردگی، می‌توان از مواد رسانای حرارتی بالا استفاده کرد. فرآیند توزیع حرارتی، یکی از راه‌های موثر در انتقال حرارت برای خنک کاری وسایلی با توان تولیدی حرارتی بالا است. شکل ۱، نمونه‌ای از فرآیند پخش حرارتی به کمک سطوح گستردگی را نشان می‌دهد. تحلیل فرآیند پخش حرارتی به دلیل عدم استقلال هدایت و جابجایی حرارتی و رقابت بین آنها پیچیده است.

در زمینه میدان جریان و انتقال حرارت از سطوح گستردگی، مطالعات تجربی و عددی مختلفی انجام شده است. وانگ<sup>۱</sup> و چی<sup>۲</sup> [۱]، پره‌های موجی شکل را به صورت تجربی بررسی و روابطی را برای ضریب انتقال حرارت و ضریب

اصطکاک آنها ارائه کردند. سوییدی<sup>۳</sup> و بونتمپس<sup>۴</sup> [۲]، با در نظر گیری پره‌های سوراخ دار و بدون سوراخ در یک کanal مستطیلی باریک به صورت تجربی، جریان را در داخل کanal بررسی کردند



شکل ۱- مجموعه‌ای با سطوح گستردگی و ماده تماسی

سارا<sup>۵</sup> [۳] با یک مطالعه آزمایشگاهی، انتقال حرارت را در یک کanal که در آن بلوك‌های سوراخدار به سطح کanal متصل شده‌اند، را مورد بررسی قرار داد. در این تحقیق عدد رینولدز بر اساس قطر هیدرولیکی کanal در محدوده ۶۶۷۰ تا ۴۰۰۰۰ بوده، زاویه حمله جریان نسبت به بلوك‌ها از صفر تا ۴۵ درجه تغییر می‌کند؛ همچنین قطر سوراخ‌ها نیز بین ۲/۵ تا ۸ میلی متر در نظر گرفته شده اند. سارا [۳] ادعا کرد که با افزایش زاویه حمله و قطر سوراخ و نیز کاهش عدد رینولدز، انتقال حرارت افزایش می‌یابد. شاعری<sup>۶</sup> و یعقوبی<sup>۷</sup> [۴]، در طی مطالعات عددی خود جریان متلاطم هوا با عدد پرانتل ۷/۱ همراه با انتقال حرارت را روی یک آرایه از پره که سوراخ‌هایی به شکل مکعب مستطیل در راستای طولی آن قرار گرفته را مورد بررسی قرار دادند. آن‌ها گزارش کردند که با افزایش تعداد سوراخ‌ها، انتقال حرارت به مقدار قابل توجهی افزایش یافته است. آنها همچنین روابطی محاسبه عدد ناسلت برای فین‌های سوراخ دار در مقایسه با فین‌های بدون سوراخ ارائه کردند. سارا و همکاران [۵]، میزان انتقال حرارت روی یک آرایه‌ای از مکعب‌هایی که به صورت یک در میان روی یک صفحه قرار داده شده اند را به صورت آزمایشگاهی

<sup>2</sup> Chi

<sup>3</sup> Souidi

<sup>4</sup> Bontemps

<sup>5</sup> Sara

<sup>6</sup> Shaeri

<sup>7</sup> Yaghoubi

<sup>۱</sup> Wang

رینولذز مختلف بدست آورند. ساهین<sup>۷</sup> و دمیر<sup>۸</sup> [۱۲] اثر افزایش سرعت ورودی سیال و سطح را برای پره‌های مکعبی شکل بررسی کردند و مشاهده کردند که انتقال حرارت با افزایش سطح افزایش خواهد یافت. دامنی<sup>۹</sup> و فرکده<sup>۱۰</sup> [۱۳] مطالعاتی تجربی را در راستای بهبود انتقال حرارت و افت فشار برای یک صفحه تخت در یک کانال مستطیلی شکل داشتند. یعقوبی و ولایتی<sup>۱۱</sup> [۱۴] روابط همبستگی را برای عدد ناسلت و همچنین بازده فین حرارتی در جریان مغشوش در ردیف‌های مکعبی ارتقا دادند. وو<sup>۱۲</sup> و همکاران [۱۵] یک مدل را به منظور پیش‌بینی کردن خصوصیات دما برای یک فین صفحه‌ای ارتقا دادند. آنها توانستند رابطه‌هایی برای ضریب اصطکاک و عدد ناسلت برای اعداد رینولذز کمتر از ۵۰۰۰ بر اساس قطر هیدرولیکی کانال‌ها در فین صفحه‌ای ارائه نمایند. لاؤ<sup>۱۳</sup> و ماهاجان<sup>۱۴</sup> [۱۶] مطالعات تجربی و عددی برای بدست آوردن خصوصیات دمایی فین صفحه‌ای انجام دادند و ۳۰ درصد مقاومت گرمایی بالاتر برای یک فین صفحه‌ای در مقایسه با فین پینی شکل صفحه‌ای گزارش کردند. چین<sup>۱۵</sup> و همکارانش [۱۷] به تحقیق تجربی و عددی برای فین‌های متناوب سوراخ دار پینی پرداختند تا نرخ انتقال حرارت را افزایش دهند. آنها گزارش دادند که عدد ناسلت برای پین‌های سوراخ دار ۴۵ درصد نسبت به پین‌های قبلی سنتی که به حالت بدون سوراخ بودند بیشتر است و در واقع با افزایش تعداد سوراخ‌ها این عدد افزایش می‌یابد. آنان همچنین دریافتند که کاهش چشمگیری در افت فشار سیال (حدود ۱۸ درصد) در مقایسه با پین‌های سنتی وجود دارد.

آل دوری<sup>۱۶</sup> [۱۸] به صورت تجربی انتقال حرارت جایجایی طبیعی در یک فین صفحه‌ای مستطیلی شکل که دارای سوراخ‌های دایره‌ای بود را به عنوان سینک حرارتی گسترش داد. او نشان داد که دمای فین بدون سوراخ از ۳۰ °C به ۲۵ °C افت می‌کند اما دما در فین سوراخ دار در

در عدد رینولذز  $(Re = \frac{UD_h}{\nu})$  ۱۰۰۰۰ تا ۳۴۰۰۰ مورد بررسی قرار دادند و نتایج را با حالتی مقایسه کردند که مکعب‌ها در یک راستا باشند. آنها به این نتیجه رسیدند، در حالتی که مکعب‌ها به صورت یک در میان قرار گرفته‌اند، میزان انتقال حرارت افزایش می‌یابد. اخیراً شاعری و جن<sup>۱</sup> [۶] در تحقیق خود فین‌های سوراخ دار با سوراخ‌های عرضی را بررسی کردند. در این تحقیق، تاثیر تعداد سوراخ‌های عرضی بر کارایی فین‌های سوراخدار در مقایسه با فین‌های بدون سوراخ بررسی شده است. با استفاده از شبیه سازی عددی صورت گرفته، روابطی جهت محاسبه کارایی و عدد ناسلت برای فین‌های سوراخ دار با سوراخ‌های جانبی ارائه شده است. گوروروتانا<sup>۲</sup> [۷] به بررسی عددی انتقال حرارت در چاه حرارتی با حفره‌هایی جهت افزایش نرخ تبادل حرارت در ابعاد میکرو پرداخت. بر اساس نتایج در حالتی که عدد رینولذز جریان بر اساس طول کانال از ۱۲۵ بیشتر است، وجود حفره در کف کانال سبب افزایش نرخ انتقال حرارت می‌شود. در تحقیق دیگری لاوسون<sup>۳</sup> و همکاران [۸] به بررسی تجربی و عددی فاصله بین پره‌های پینی شکل بر روی انتقال حرارت و افت فشار پرداختند. محدوده عدد رینولذز جریان بر اساس قطر هیدرولیکی کانال ۳۰۰۰ تا ۵۰۰۰ انتخاب شده و نتایج حاصل نشان دادند که فاصله طولی فین‌ها نسبت به فاصله عرضی تاثیر بیشتری بر روی انتقال حرارت از سطح دارد. دیانی<sup>۴</sup> و همکاران [۹] به صورت تجربی و عددی به بررسی تاثیر پارامترهای ابعادی بر روی رفتار دمایی در چاه‌های حرارتی پرداختند. مشقق<sup>۵</sup> و همکاران [۱۰] با استفاده از مطالعات تجربی به بررسی انتقال حرارت و افت فشار جریان هوا در اطراف مجموعه پره‌ها پرداختند و روابطی را جهت محاسبه ضریب انتقال حرارت و افت فشار ارائه نمودند. سرکار<sup>۶</sup> و همکاران [۱۱] انتقال حرارت را در یک کانال با استفاده از فین‌های سوراخ دار با شکل ستاره‌ای بررسی کردند و همچنین توانستند رابطه‌های تجربی برای اعداد

<sup>7</sup>Sahin<sup>8</sup>Demir<sup>9</sup>Dhumne<sup>10</sup>Farkade<sup>11</sup>Velayati<sup>12</sup>Wu<sup>13</sup>Lau<sup>14</sup>Mahajan<sup>15</sup>Chin<sup>16</sup>Al-Doorii<sup>1</sup>Jen<sup>2</sup>Gururatana<sup>3</sup>Lawson<sup>4</sup>Diani<sup>5</sup>Moshfegh<sup>6</sup>Sarkar

ارائه شده و با طراحی آزمایش به کمک روش تاگوچی مقادیر بهینه برای میزان تخلخل صفحات برای بیشینه انتقال حرارت از صفحات گزارش شده است. آنها گزارش کردند که برای فین با تخلخل ۰/۲۲ و جریان با عدد رینولدز ۸۷۰۰ در حدود ۱۹٪ افزایش در انتقال حرارت نسبت به فین‌های بدون سوراخ وجود دارد. سنگ تراش و شکوهمند [۲۳] به بررسی تجربی و عددی انتقال حرارت از مجموعه فین‌های دارای فروفتگی و برجستگی به صورت هم ردیف و غیر هم ردیف پرداختند. نتایج برای اعداد رینولدز ۶۰۰ تا ۱۲۰۰ بر اساس گام طولی فین‌ها ارائه شده و نشان می‌دهند که آرایش غیر هم ردیف فین‌ها نسبت به آرایش هم ردیف قابلیت انتقال حرارت بیشتری دارند.

با بررسی تحقیقات صورت گرفته و نتایج ارائه شده در منابع موجود تاکنون پره‌های سوراخ دار با سوراخ‌های منقطع از لحاظ حرارتی مورد بررسی قرار نگرفته‌اند، از این نظر در این پژوهش کارایی این نوع پره‌ها در مقایسه با نمونه‌های قبلی به صورت تجربی در اعداد رینولدز مختلف مورد بررسی قرار می‌گیرد. بدین منظور با اندازه گیری دما به کمک مجموعه ریموکوپل‌های کالیبره شده و دستگاه ترمومگراف، این نمونه از پره‌ها از نظر ساختار حرارتی مورد بررسی قرار گرفته است. از نتایج اندازه گیری‌های صورت گرفته و با استفاده از مدل سازی انتقال حرارت، ضریب انتقال حرارت جابجایی متوسط آرایه پره‌ها و کارایی آنها محاسبه شده و با نتایج تحقیقات پیشین مقایسه شده است.

## ۲- مجموعه آزمایش

به منظور بررسی کارایی حرارتی فین‌های سوراخ دار اندازه گیری‌های متنوعی صورت گرفته اند. به این منظور، مطالعه تجربی برای یک مدل پره‌های سوراخ دار در توپل باد انجام شده است. توپل باد، دارای مقطع مربعی شکل به ابعاد ۴۶ در ۴۶ سانتی متر و طول ۲۰ سانتی متر است. سرعت سیال درون توپل باد با استفاده از یک سیستم معکوس کننده متناوب تنظیم شده است. برای بررسی بهتر خصوصیات انتقال حرارت فین‌های سوراخ دار یک مدل آلومینیومی جهت آزمایش آماده شده است که در شکل ۲-الف نشان داده شده است. این ماده در خنک کردن دستگاه‌ها در صنعت‌های مختلف به وفور مورد استفاده قرار می‌گیرد. در بخش پایینی

توان حرارتی پایین از ۳۰ °C به ۲۳/۷ °C رسید. در توان حرارتی بالا این تفاوت بیشتر چشمگیر است به گونه ای که در فین بدون سوراخ دما از ۴۹ °C به ۲۵۰ °C یافت در حالی که در فین‌های سوراخ دار دما از ۲۵۰ °C به ۲۶ °C رسیده است. همچنین او نشان داد که نرخ انتقال حرارت با زیاد شدن تعداد سوراخ‌ها بالا می‌رود. آل عیسی<sup>۱</sup> [۱۹] انتقال حرارت جابجایی طبیعی به کمک فین مستطیلی شکل افقی با سوراخ‌های مربع شکل را با فین‌های ساده بدون سوراخ مقایسه کرد. همچنین او نشان داد که با افزایش تعداد سوراخ‌ها نرخ انتقال حرارت بیشتر می‌شود. او گزارش داد که در نتیجه بیشتر شدن ضخامت فین، نرخ انتقال حرارت در فین‌های سوراخ دار بیشتر می‌شود. لاسون<sup>۲</sup> و همکاران [۲۰] تحقیقاتی را بر روی اثر فاصله پین‌ها بر روی انتقال حرارت و افت فشار از طریق ردیف‌های پین‌ها در اعداد رینولدز مختلف در بازه‌ی ۵۰۰۰ تا ۳۰۰۰۰ انجام دادند. در این تحقیق عدد رینولدز جریان بر اساس قطر هیدرولیکی کانال محاسبه شده است. آنها نتیجه گرفتند که فاصله‌ی فین‌ها تاثیر زیادی در انتقال حرارت دارد و گزارش کردند که استفاده از فین‌های پینی شکل باعث کاهش افت فشار می‌شود. اخیراً اسماعیل<sup>۳</sup> و همکاران [۲۱] شبیه سازی عددی را برای انتقال حرارت جابجایی در جریان مغشوش از فین‌های جامد سوراخ دار و طویل انجام دادند. در مطالعه‌ی آنها هوا به عنوان سیال انتخاب شده و انتقال حرارت جابجایی با استفاده از معادلات ناویر استوکس و مدل مغشوش RNG k-ε بررسی شده است. در این مطالعه انتقال حرارت و میدان جریان در اعداد رینولدز ۲۰۰۰ تا ۳۹۰۰۰ بر اساس طول فین شبیه سازی شده است. نتایج آنها مشخص کرده است که در بین فین‌های بررسی شده آن دسته از فین‌ها با سوراخ‌های دایره‌ای شکل، انتقال حرارت چشمگیرتر و افت فشار کمتری دارند. داناواهde<sup>۴</sup> و همکاران [۲۲] به صورت تجربی به بررسی افزایش انتقال حرارت از پره‌های سوراخ دار مستطیلی با سوراخ‌های جانبی در داخل کانال پرداختند. نتایج برای جریان با محدوده رینولدز ۲۱۰۰۰ تا ۸۷۰۰۰ بر اساس قطر هیدرولیکی کانال

<sup>1</sup> Al-Essa

<sup>2</sup> Lawson

<sup>3</sup> Ismail

<sup>4</sup> danavade



(د)

شکل ۲-الف) مجموعه پره‌های سوراخ دار در تونل باد، وزیر پایه‌های، ب) آرایش المان‌های حرارتی داخل مدل، ج) شماتیک مجموعه اندازه‌گیری، د) کنسول جریان

#### مستقیم و دستگاه اندازه‌گیری

هنده ساخته شده برای انجام آزمایش و ابعاد پره‌ها و سوراخ‌ها در مدل، در شکل ۳ نشان داده شده‌اند. بعد از آماده‌سازی مدل با استفاده از یک کنسول جریان مستقیم با عبور دادن جریان از المنت‌های نصب شده در بخش زیرین مدل، حرارت دهی صورت می‌گیرد. کنسول اندازه‌گیری، دارای صفحه نمایشگر ولتاژ و جریان الکتریکی است و بدین شکل توان حرارتی ورودی به مجموعه مورد آزمایش، قابل اندازه‌گیری است. مقدار حرارت ورودی به مجموعه با استفاده از کنسول جریان مستقیم  $28 \pm 1$  وات اندازه‌گیری شده است. به منظور اندازه‌گیری دما از مدل ساخته شده از ترموکوپل‌های کالیبره شده نوع K استفاده شده است. بدین منظور برای اندازه‌گیری دما شش حفره داخل مدل برای قرار دادن ترموکوپل‌ها ایجاد شده و داخل آن‌ها سیم‌های ترموکوپل قرار گرفته‌اند. موقعیت ترموکوپل‌ها در پره‌های سوراخ دار در شکل ۳ نشان داده شده است. به منظور کالیبره کردن ترموکوپل‌ها از محلوت آب و بخ با دمای صفر درجه سانتی گراد و آب جوش استفاده شده است. هر ترموکوپل به یک نمایشگر دیجیتال متصل شده که می‌توان به کمک آنها دما را در محل ترموکوپل ثبت کرد. دقت اندازه‌گیری دما با استفاده از مجموعه اندازه‌گیری  $5/0.0$  درجه سانتی گراد است. لازم به ذکر است که با توجه به قرارگیری المان حرارتی در بخش پایینی مدل، محل ترموکوپل‌ها به گونه‌ای انتخاب شده اند که اولاً امکان عبور دادن آنها از داخل مدل وجود داشته باشد و ثانياً کمترین میزان اغتشاش را در اطراف مدل مورد

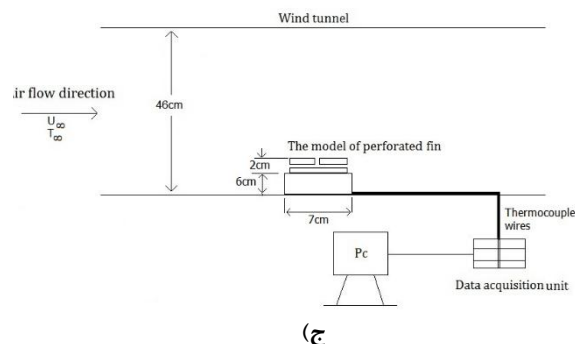
این مدل آلومینیومی مطابق شکل ۲-ب، المنت‌های حرارتی عبور داده شده‌اند تا بتوان بدین شکل حرارت مورد نیاز برای مجموعه را مهیا کرد. به منظور کاهش دادن میزان اتلاف حرارتی در اطراف مدل تهیه شده، لایه‌ای از عایق از جنس پنبه نسوز به ضخامت ۲ سانتی‌متر و ضریب ھدایت حرارتی  $0.1$  وات بر متر کلوین استفاده شده است. پس از عایق بندی مدل، پوششی از آلومینیوم به دور مدل کشیده شده است تا بتوان از مدل به عنوان نمونه در تونل باد استفاده کرد. در شکل ۲-ج، مجموعه تونل باد و تجهیزات بکل رفته و شکل ۲-د، کنسول اندازه‌گیری ملاحظه می‌شود.



(الف)

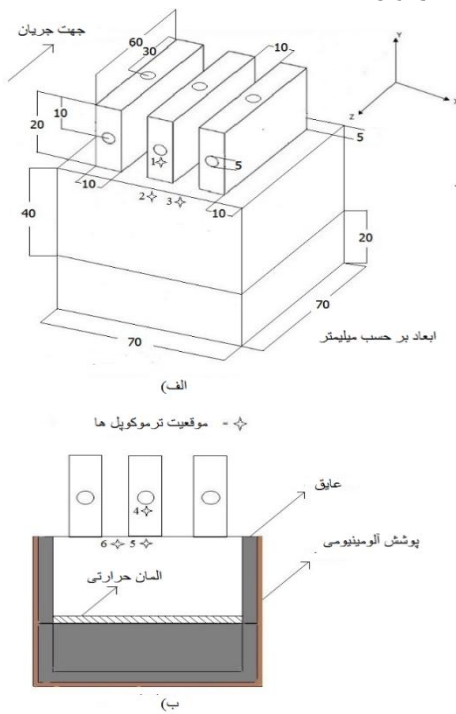


(ب)



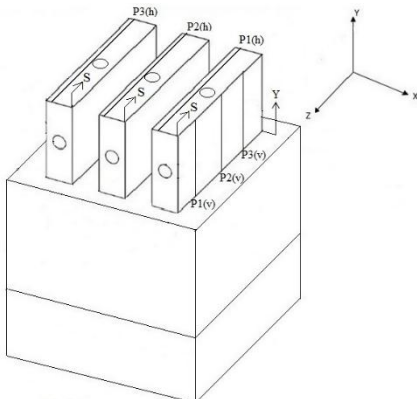
(ج)

اطمینان از صحت اندازه گیری‌های صورت گرفته هر آزمایش سه بار تکرار شده و تغییر چندانی بین نتایج مشاهده نشد. در هر آزمایش، دمای اندازه گیری شده توسط ترموموکوپل‌ها ثبت شد تا تعییرات دمای ناچیز برای هر کدام از ترموموکوپل‌ها حاصل و شرایط دائمی بدست آید. حصول شرایط دائمی در هر آزمایش، بسته به سرعت جريان بین ۳۰ تا ۹۰ دقیقه طول کشیده است که در اين بازه زمانی، شرایط جريان ورودی در تونل ثابت نگه داشته شده است.



شکل ۳- (الف) ابعاد مدل آزمایش، (ب) موقعیت ترموموکوپل‌ها

#### ترموکوپل‌ها در مدل



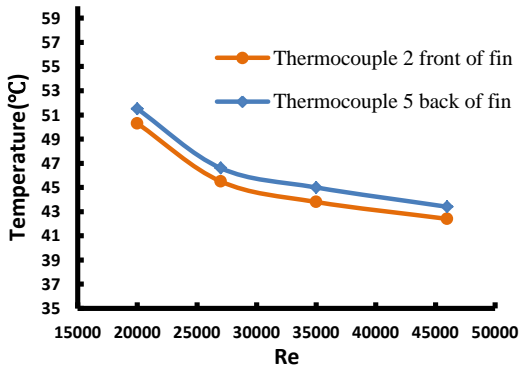
شکل ۴- خطوط مرجع بر روی مدل پرهای سوراخ دار

آزمایش ایجاد کنند. بدین شکل، امكان اندازه گیری توزیع دما در مدل ساخته شده با استفاده از مجموعه اندازه گیری فراهم می‌شود. با توجه به شکل ۳، نقاط ۱ تا ۳ در بخش مقابل مدل، در برابر جريان قرار گرفته اند و نقاط ۴ تا ۶ در بخش پشت مدل واقع شده‌اند. با توجه به محل قرار گیری ترموموکوپل‌ها ۴ نقطه در نزدیکی صفحه پایه که حرارت را به پره‌ها منتقل می‌کنند، می‌توان دمای متوسط صفحه را اندازه گیری کرد. با استفاده از این مجموعه و با استفاده از تغییر سرعت جريان در تونل باد، می‌توان به اندازه گیری دما در نقاط مختلف مدل در اعداد رینولدز متفاوت پرداخت و نتایج حاصل را با هم مقایسه کرد. در تمامی آزمایش‌های صورت گرفته دمای جريان ورودی به تونل باد ۲۸ °C نگاه داشته و اندازه گیری‌ها انجام شده است.

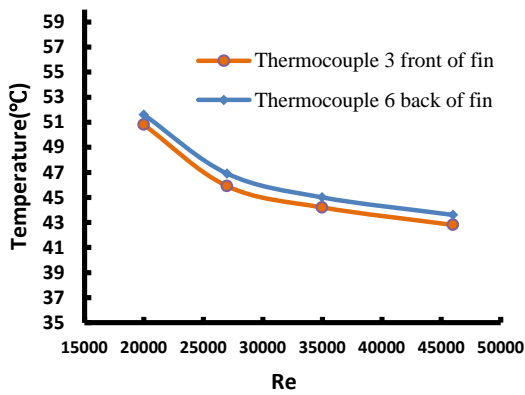
به منظور ارزیابی مناسب‌تر پره‌ها از نظر حرارتی، از یک سیستم ترموگراف Testo [۲۲] جهت اندازه گیری توزیع دمای سطح استفاده شده است. با توجه به این نکته که دقت اندازه گیری این دستگاه ۲ درجه سانتی گراد است، از این رو به کمک این دستگاه تنها می‌توان ارزیابی کیفی از توزیع درجه حرارت را روی سطوح پره‌های سوراخ دار مشاهده کرد. اساس کار این دستگاه، بر مبنای اندازه گیری غیر تماسی با توجه به تشعشع دریافتی از یک جسم با طول موج بالاست. پارامتر کلیدی در اندازه گیری به کمک این دستگاه، میزان ضربی گسیل سطح مورد نظر است. به منظور بدست آوردن این پارامتر می‌توان از جداول موجود در راهنمای وسیله برای مواد مختلف استفاده کرد. در تحقیق حاضر، به منظور اطمینان از صحت اندازه گیری دما به کمک دستگاه ترموگراف، ضربی گسیل سطح مرجع آلومنیومی به گونه‌ای تنظیم شده که دما معادل دمای اندازه گیری شده توسط ترموموکوپل (روش تماسی) باشد. با استفاده از این دستگاه، می‌توان توزیع دما را با در نظر گیری نقاط گرم و سرد روی جسم بدست آورد.

### ۳- نتایج

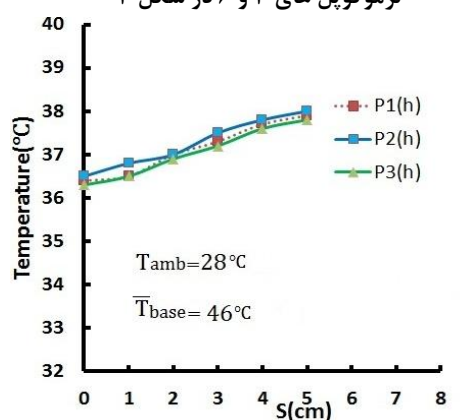
در این بخش، نتایج حاصل از اندازه گیری دما به کمک مجموعه ترموموکوپل‌های کالیبره شده و ترموگراف ارائه شده است. به منظور بررسی ویژگی‌های حرارتی مدل مورد نظر، آزمایش‌هایی در تونل باد صورت گرفته اند. برای حصول



شکل ۶- مقایسه دمای اندازه گیری شده در محل ترموموکوبل های ۲ و ۵ در شکل ۳



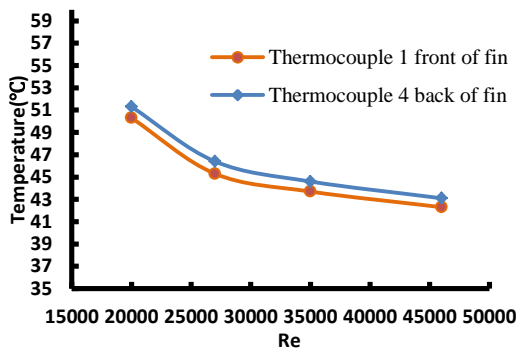
شکل ۷- مقایسه دمای اندازه گیری شده در محل ترموموکوبل های ۳ و ۶ در شکل ۳



شکل ۸- مقایسه دمای سطح پره ها در جهت طولی به کمک دستگاه ترموموگراف برای عدد رینولوز  $Re=27000$

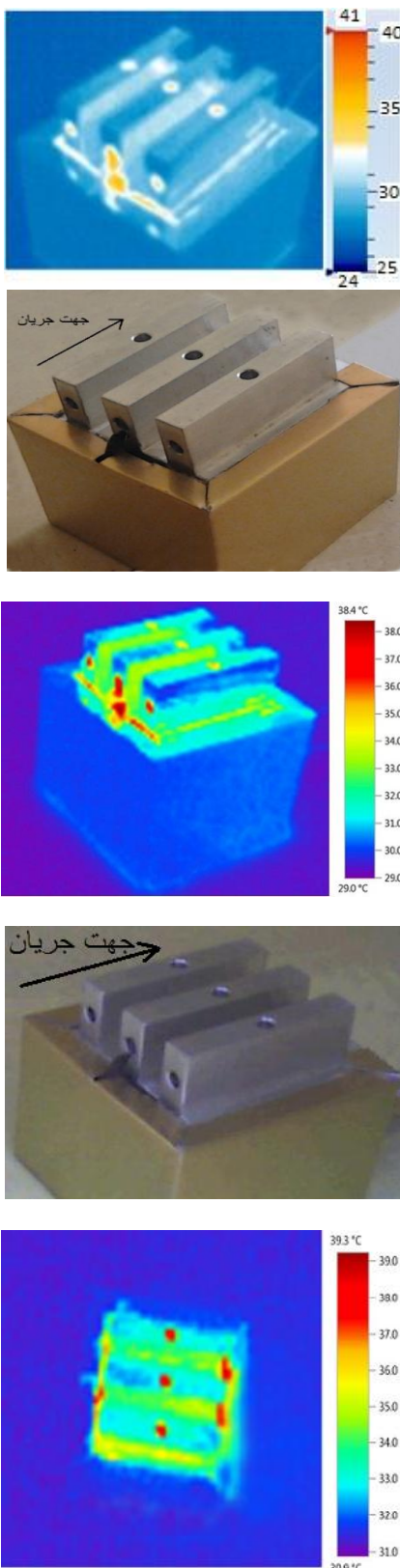
دماهی سطح پره ها در جهت جریان بتدریج افزایش می یابد. علت این افزایش دما، افزایش دمای سیال عبوری از روی

نتایج اندازه گیری دما به کمک ترموموکوبل ها در شکل های ۵ تا ۷ نشان داده شده اند. در هر شکل، به منظور انجام مقایسه بهتر نتایج مربوط به نقاط روبرو در بخش روبرو و پشتی مدل در کنار هم نشان داده شده اند. با توجه به شکل های ۵ تا ۷ می توان مشاهده کرد که دمای نقاط مختلف با افزایش عدد رینولوز جریان  $Re = \frac{\rho u l}{\mu}$  کاهش یافته اند. علت کاهش دما در افزایش افت حرارتی جابجایی به دلیل افزایش سرعت جریان است. نکته قابل توجه دیگر در این شکل ها، اختلاف دمای بین نقاط است که به دلیل وجود سوراخ های متقطع و ایجاد گرادیان دمایی داخل پره ها به وجود آمده است. این قابلیت از مزیت های پره های سوراخ دار است که با ایجاد گرادیان دمایی داخل پره سبب افزایش نرخ انتقال حرارت از پره می شود. لازم به ذکر است که آرایش سوراخ های داخل پره در عملکرد حرارتی پره تاثیر گذار است و در شکل های بعد تاثیر آرایش سوراخ ها بر ضریب انتقال حرارت جابجایی بررسی شده است. علت بیشتر بودن دما در نقاط واقع در پشت مدل (نقاط ۴، ۵ و ۶) نسبت به نقاط جلویی قرار گرفتن آنها در ناحیه دنباله مدل است، به گونه ای که در بخش جلویی مدل به دلیل وجود ناحیه با ضخامت ناچیز لایه مرزی ضریب انتقال حرارت جابجایی موضعی بیشتر بوده، سبب ایجاد افت حرارتی بیشتر از مدل در این سمت می شود.



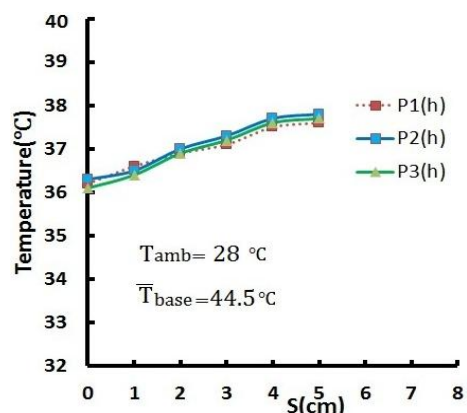
شکل ۵- مقایسه دمای اندازه گیری شده در محل ترموموکوبل های ۱ و ۴ در شکل ۳

شکل ۸، دمای سطح پره ها را برای جریان با عدد رینولوز  $27000$  نشان می دهد که با استفاده از دستگاه ترموموگراف اندازه گیری شده اند. خطوط مبدأ در این شکل، در شکل ۴ نشان داده شده اند. با توجه به شکل ۸، مشخص است که

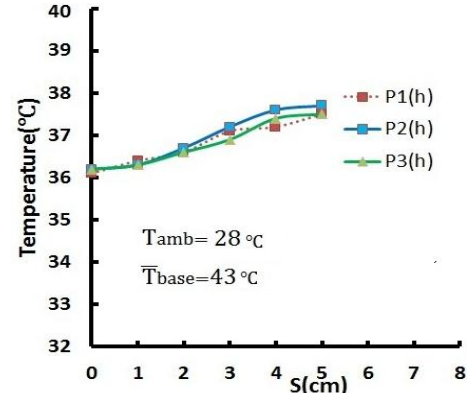


پره‌ها و کاهش اختلاف دما بین سیال و سطح است. نکته قابل ذکر دیگر در شکل ۸، یکسان بودن دما روی سطح پره‌ها تا میانه پره است که نشانگر عملکرد مشابه آنها تا قسمت میانی است؛ اما از قسمت میانی پره‌ها تا انتهای آن دمای سطح پره میانی، اندکی بیشتر می‌شود که ناشی از محصور بودن آن توسط پره‌های مجاور است.

لازم به ذکر است که پره‌های واقع در بخش کناری مجموعه از یک سمت با جریان آزاد در تماسند؛ در حالی که پره میانی از دو سمت توسط دو پره دیگر محصور شده است. الگوی تغییرات دما در سطح پره‌ها برای جریان با عدد رینولدز ۳۵۰۰۰ و ۴۶۰۰۰ در شکل‌های ۹ و ۱۰ نشان داده شده‌اند که مشابه شکل ۸ است. شکل ۱۱، نمونه‌ای از ساختار دمایی روی سطح و پایه پره‌های سوراخ دار را نشان می‌دهد که با استفاده از دستگاه ترمومتری تهیه شده است.



شکل ۹- مقایسه دمای سطح پره‌ها در جهت طولی به کمک دستگاه ترمومتری برای عدد رینولدز  $Re=35000$



شکل ۱۰- مقایسه دمای سطح پره‌ها در جهت طولی به کمک دستگاه ترمومتری برای عدد رینولدز  $Re=46000$

$$\bar{h} = \frac{Q_{convection}}{T_s - T_{amb}} \quad (2)$$

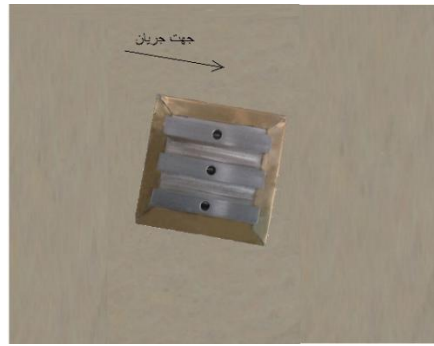
در این رابطه،  $T_s$  بیانگر دمای متوسط سطح پایه پره‌ها بوده،  $T_{amb}$  بیانگر دمای محیط است. به منظور محاسبه دمای متوسط سطح می‌توان از متوسط دمای ترموموپلهای ۶، ۵، ۳، ۲ مطابق رابطه (۳) استفاده کرد.

$$T_s = \frac{1}{4}(T_2 + T_3 + T_5 + T_6) \quad (3)$$

شکل ۱۲، ضریب انتقال حرارت جابجایی از مجموعه پره‌ها را بر حسب عدد رینولدز جریان نشان می‌دهد. به منظور انجام مقایسه، در این شکل نتایج تحقیق شاعری و یعقوبی [۴] برای پره‌های سوراخ دار طولی و پره‌های بدون سوراخ نیز نشان داده شده‌اند. با مقایسه نتایج مشخص است که ضریب انتقال حرارت جابجایی پره‌های مورد استفاده در تحقیق حاضر، نسبت به پره‌های بدون سوراخ و پره‌های سوراخ دار تحقیق شاعری و یعقوبی [۴] بیشتر است که با روند افزایش ملاحظه شده توسط چین و همکاران [۱۷] همخوانی دارد. از این رو آرایش پره‌های حاضر می‌توانند در شرایط یکسان حرارت بیشتری را دفع کنند و برای خنک کاری سطوح گرم مناسب‌تر هستند. نکته قابل توجه دیگر در شکل ۱۲، کاهش ضریب انتقال حرارت جابجایی پره‌های سوراخ دار تحقیق شاعری و یعقوبی [۴] نسبت به پره‌های بدون سوراخ است؛ در حالی که ضریب انتقال حرارت جابجایی پره‌های مورد استفاده در تحقیق حاضر نسبت به پره‌های بدون سوراخ بیشتر است.

در هر مطالعه تجربی بررسی خطای عدم قطعیت ضروری است. در طی آزمایش‌های صورت گرفته خطای اندازه گیری‌ها ناشی از منابع مختلف ایجاد می‌شود و لازم است برای پارامترهایی که از نتایج اندازه گیری‌ها بدست می‌آیند، میزان خطای عدم قطعیت محاسبه شوند. بدین منظور بر اساس محاسبات صورت گرفته می‌توان از روش مرجع [۲۳] استفاده کرد. بر مبنای این روش اگر  $P$  تابعی از متغیرهای  $s$  و  $q$  باشد، آنگاه دیفرانسیل کلی یا تغییرات کلی در  $P$  در اثر تغییرات جزئی پارامترهای  $dr$ ,  $ds$  و  $dq$  به صورت رابطه (۴) بدست می‌آید:

$$(\delta P) = \sqrt{\left| \frac{\partial P}{\partial r} \right|^2 (dr)^2 + \left| \frac{\partial P}{\partial s} \right|^2 (ds)^2 + \left| \frac{\partial P}{\partial q} \right|^2 (dq)^2} \quad (4)$$

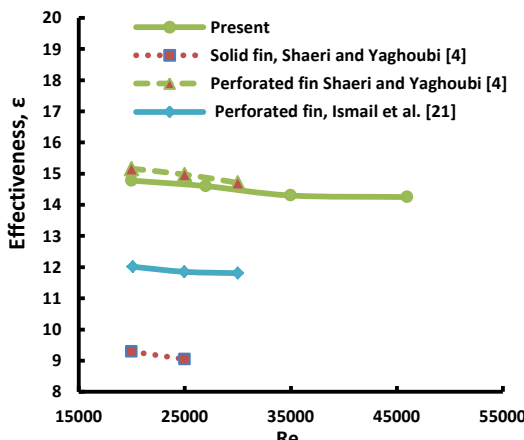


شکل ۱۱- ساختار گرمایی سطح پره‌های سوراخ دار با دستگاه ترمو گراف در حالات مختلف

با توجه به این شکل، در روی پره‌ها حفره‌های گرم مشاهده می‌شود و در سایر بخش‌ها به دلیل افت حرارتی از پره دما پایین تر و توزیع دما تقریباً یکنواخت است. نکته قابل توجه دیگر در شکل ۱۱، توزیع دما روی پره‌ها است به گونه‌ای که در پره میانی، دما نسبت به دو پره جانبی بالاتر است. به منظور تحلیل حرارتی مجموعه پره‌های سوراخ دار لازم است که مدل سازی حرارتی برای مجموعه مورد نظر صورت گیرد. بر این اساس، می‌توان رابطه زیر را برای توازن حرارتی مجموعه ارائه کرد:

$$Q = Q_{loss} + Q_{convection} + Q_{rad} \quad (1)$$

در این رابطه،  $Q$  مشخص کننده کل حرارت ورودی به مجموعه از طریق المان‌های حرارتی بوده،  $Q_{convection}$  نشان‌دهنده انتقال حرارت جابجایی از دیوارهای بخش فوقانی مدل و  $Q_{loss}$  بیانگر افت حرارتی از دیوارهای کناری مدل و  $Q_{rad}$  بیانگر افت حرارتی تشعشعی از مدل است. با توجه به تحقیق شاعری و یعقوبی [۴]، افت تشعشعی از پره‌های سوراخ دار در برابر انتقال حرارت جابجایی در اختلاف دماهای کم سطح پره و محیط ناچیز است، از این رو می‌توان از افت حرارتی تشعشعی صرف نظر کرد. از سوی دیگر با توجه به عایق بندی صورت گرفته در اطراف مدل، افت حرارتی از دیوارهای جانبی در حدود ۱ وات است که قابل صرف نظر کردن می‌باشد. با در نظر گیری این فرضیات خطای قابل توجهی در محاسبات وارد نمی‌شود؛ اما مدل سازی بسیار ساده‌تر صورت می‌گیرد. بر اساس مدل حرارتی در نظر گرفته شده، می‌توان ضریب انتقال حرارت جابجایی متوسط پره‌ها را به صورت رابطه (۲) محاسبه کرد:



شکل ۱۳- مقایسه کارایی پره با نتایج تحقیقات پیشین

نکته دیگری که در بررسی پره‌های سوراخ دار حائز اهمیت است، میزان کاهش وزن پره‌های سوراخ دار نسبت به پره‌های دارای سوراخ است. پره‌های سوراخ دار، ضمن افزایش نرخ انتقال حرارت از سطح دارای وزن کمتری نسبت به پره‌های سنتی می‌باشند. در جدول ۱، میزان کاهش وزن پره‌های سوراخ دار در تحقیق حاضر با تحقیق شاعری و یعقوبی [۴] مقایسه شده است. با توجه به نتایج تحقیق حاضر با درنظرگیری سوراخ‌های متقطع داخل پره‌ها وزن هر کدام از پره‌ها نسبت به پره‌های بدون سوراخ با ابعاد مشابه در حدود ۱۱ درصد کاهش یافته است؛ در حالی که در تحقیق شاعری و یعقوبی [۴]، درصد کاهش وزن برای پره با یک سوراخ طولی ۱۸/۷۵ درصد است. با مقایسه نتایج مشخص می‌شود که با در نظر گیری سوراخ کوچکتر، ضریب انتقال حرارت بیشتری در تحقیق حاضر نسبت به تحقیق شاعری و یعقوبی [۴] به دست آمده است.

جدول ۱- درصد کاهش وزن پره نسبت به پره بدون سوراخ

شاعری و یعقوبی [۴]	تحقیق حاضر
۱۸/۷۵	۱۱/۴۵

#### ۴- جمع بندی

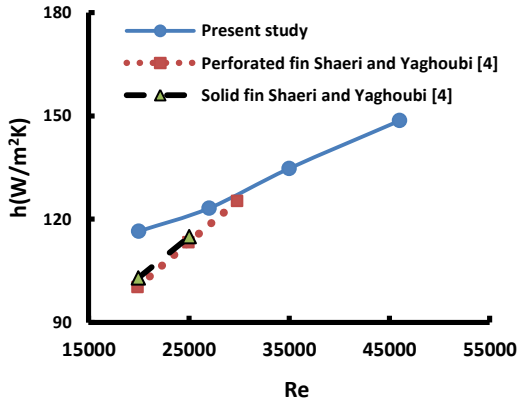
در تحقیق حاضر، انتقال حرارت جابجایی در اطراف آرایش جدیدی از فین‌های سوراخ دار با سوراخ‌های متقطع به صورت تجربی، مورد بررسی قرار گرفته است. مدلی مركب از سه فین سوراخ دار با یک سوراخ طولی و یک سوراخ متقطع

با استفاده از این روش و رابطه (۲)، میزان بیشینه خطای محاسبه ضریب انتقال حرارت جابجایی در حدود ۵ درصد است.

پارامتر دیگری که در بررسی حرارتی پره‌ها حائز اهمیت است، کارایی پره می‌باشد. این پارامتر، به صورت نرخ انتقال حرارت از سطح دارای پره به نرخ انتقال حرارت از سطح بدون پره تعریف می‌شود. به عبارت دیگر، این پارامتر میان میزان افزایش نرخ انتقال حرارت از سطح در حالت پره دار به حالت بدون پره است که به صورت رابطه (۵) تعریف می‌شود:

$$\epsilon = \frac{Q_{finned}}{Q_{unfinned}} \quad (5)$$

شکل ۱۳، به مقایسه کارایی مجموعه پره‌ها در تحقیق حاضر با نتایج مربوط به تحقیقات پیشین می‌پردازد. لازم به ذکر است که نتایج سایر تحقیقات در شکل ۱۳ تا عدد رینولدز ۳۰۰۰۰ گزارش شده‌اند. بر اساس این شکل، می‌توان گفت که کارایی پره‌ها در تحقیق حاضر نزدیک به کارایی پره‌های سوراخ دار شاعری و یعقوبی [۴] بوده، نسبت به آرایش پره‌های بدون سوراخ حدود ۱/۵ برابر بیشتر است و میزان بیشینه خطای محاسبه کارایی پره در حدود ۶ درصد است. از این رو مقایسه کارایی پره‌ها و ضریب انتقال حرارت جابجایی نشان می‌دهد که آرایش تحقیق حاضر نسبت به آرایش تحقیقات پیشین، پتانسیل دفع حرارت بیشتری را دارد.



شکل ۱۲- مقایسه ضریب انتقال حرارت جابجایی تحقیق حاضر با نتایج تحقیق پیشین بر حسب عدد رینولدز

°C، دما،	T
m/s، سرعت جریان،	u
kg/m³، چگالی سیال،	ρ
N.s/m²، لزجت سیال،	μ
کارایی پره	ε

## ۷- مراجع

- [1] Wang CC, Chi KY (2000) Heat transfer and friction characteristics of plain fin-and-tube heat exchangers, Part I: New Experimental data. Int. Journal Heat and Mass Transfer 43: 2681-2691.
- [2] Souidi N, Bontemps A (2001) Countercurrent gas-liquid flow in plate-fin heat exchangers with plain and perforated fins. Int J Heat and Fluid Flow 22: 450-459.
- [3] Sara ON (2003) Performance analysis of rectangular ducts with staggered square pin fins. Int J. Energy Conversion and Management 44: 1787–1803.
- [4] Shaeri MR, Yaghoubi M (2009) Numerical analysis of turbulent convection heat transfer from an array of perforated fins. International Journal of Heat and Fluid Flow 30: 218–228.
- [5] Sara ON, Pekdemir T, Yapici S, Yilmaz M (2001) Heat transfer enhancement in a channel flow with perforated rectangular blocks. Int. J .Heat and Fluid Flow 22: 509-518.
- [6] Shaeri MR, Jen T. (2012) The effects of perforation sizes on laminar heat transfer characteristics of an array of perforated fins. Energy Conversion and Management 64: 328–334.
- [7] Gururatana S (2012) Numerical simulation of micro-channel heat sink with dimpled surfaces. American Journal of Applied Sciences 9: 399-404.
- [8] Lawson S, Thrift A, Thole A, Kohli A (2011) Heat transfer from multiple row arrays of low aspect ratio pin fins. Int Journal of Heat and Mass Transfer 54: 4099–4109.
- [9] Diani A, Mancin S, Zilio C, Rossetto L (2013) An assessment on air forced convection on extended surfaces: Experimental results and numerical modeling. International Journal of Thermal Sciences 67: 120-134.
- [10] Jonsson H, Moshfegh B (2001) Modeling of the thermal and hydraulic performance of plate fin, strip fin, and pin fin heat sinks—fluence of flow by pass. IEEE Transactions on Components and Packaging Technologies 24: 142–149.
- [11] Sarkar AM, Majid MA (2011) Heat transfer and pressure drop in turbulent flow through a tube

طراحی و ساخته شده و آزمایش‌هایی در تونل باد برای اندازه گیری دما در چندین نقطه با استفاده از سیستم ترموکوپیل‌های کالیبره شده و ترمومتر گراف روی نمونه ساخته شده انجام گرفته است. بر اساس آزمایشات صورت گرفته، نتایج زیر حاصل شده اند:

۱. آرایش جدید پره‌های سوراخ دار با سوراخ‌های متقطع، سبب افزایش ضریب انتقال حرارت جابجایی مجموعه پره‌ها نسبت به آرایش‌های موجود در تحقیقات پیشین می‌شود. از نظر کمی ضریب انتقال حرارت بین ۱/۲ تا ۱/۵ برابر آرایش‌های پیشین برای پره‌های سوراخ دار است.
۲. میزان کارایی آرایش پره‌های بدون سوراخ ۱/۵ برابر پره‌های بدون سوراخ است.
۳. دمای نقاط پره در بخش در برابر جریان پره نسبت به نقاط واقع در بخش پشتی آن حدود ۴ درصد کمتر است.
۴. اندازه گیری دمای سطح به کمک سیستم ترمومتر گراف نشان می‌دهد که دمای سطح پره در جهت جریان افزایش می‌یابد.
۵. دمای پره میانی در مجموعه نسبت به پره‌های جانی از قسمت میانی تا انتهای پره بیشتر است.
۶. وزن پره‌های سوراخ دار نسبت به پره‌های سنتی در حدود ۱۱ درصد کاهش یافته است. با کاهش وزن پره‌های تحقیق حاضر، کارایی بهتری نسبت به پره‌های سنتی از خود نشان می‌دهند.

## ۵- قدردانی

نویسنده اول این مقاله بابت پشتیبانی مالی معاونت پژوهشی دانشگاه آزاد اسلامی واحد شیراز از این تحقیق قدردانی می‌کند. نویسنده سوم مقاله از حمایت‌های بنیاد ملی نخبگان تشکر می‌نماید.

## ۶- علایم، نشانه‌ها

ضریب انتقال حرارت جابجایی،	$h$
طول پره،	$l$
نرخ انتقال حرارت،	$Q$
عدد رینولدز جریان	$Re = \frac{\rho ul}{\mu}$

- [18] Al-Door AR (2011) Enhancement of natural convection heat transfer from rectangular fins by circular perforations. International Journal of Automotive and Mechanical Engineering 4: 428-436.
- [19] Al-Essa AHM (2002) Augmentation of fin natural convection heat dissipation by square perforations. Journal of Mechanical Engineering and Automation 2: 1-5.
- [20] Lawson SA, Thrift AA, Thole AK, Kohli A (2011) Heat transfer from multiple row arrays of low aspect ratio pin fins. International Journal of Heat and Mass Transfer 54: 4099-4109.
- [21] Farhad Ismail MD, Reza MO, Zobaer MA, Ali M (2013) Numerical investigation of turbulent heat convection from solid and longitudinally perforated rectangular fins. Procedia Engineering, 56: 497-502.
- [22] [www.testo.in](http://www.testo.in)
- [23] Adams, IF. Engineering measurements and instrumentation, The English University Press Ltd., 1975.
- with longitudinal perforated star-shaped inserts. Journal of Enhanced Heat Transfer 18: 491-502.
- [12] Sahin B, Demir A (2008) Performance analysis of a heat exchanger having perforated square fins. Appl Therm Eng 28: 621-632.
- [13] Dhumne AB, Farkade HS (2013) Heat transfer analysis of cylindrical perforated fins in staggered arrangement. International Journal of Innovative Technology and Exploring Engineering 2: 225-230.
- [14] Yaghoubi M, Velayati E (2005) Undeveloped convective heat transfer from an array of cubes in cross-stream direction. International Journal of Thermal Sciences 44: 756-765.
- [15] Wu HH, Hsiao YY, Huang HS, Tang PH, Chen, SL (2011) A practical plate-fin heat sink model. Applied Thermal Engineering, 31: 984-992.
- [16] Lau KS, Mahajan RL (1989) Effects of tip clearance and fin density on the performance of heat sinks for VLSI packages. IEEE Trans Comp Hybrids Manufact Technol 12: 756-765.
- [17] Chin SB, Foo JJ, Lai YL, Yong TK (2013) Forced convective heat transfer enhancement with perforated pin fins. Heat Mass Transfer 40: 1447-1458.